

论著·临床研究 doi:10.3969/j.issn.1671-8348.2016.23.013

整合素连接激酶抑制剂 QLT0267 对 TEMT 过程中 P38MAPK 表达的影响*

林智峰¹, 贾林², 赵丹¹, 马莉², 唐玉玲², 杨锐², 杨晓萍^{1△}

(1. 石河子大学医学院第一附属医院肾病科, 新疆石河子 832008; 2. 石河子大学医学院, 新疆石河子 832008)

[摘要] 目的 探讨在高糖诱导肾小管上皮细胞-肌成纤维细胞转分化(TEMT)过程中, 整合素连接激酶(ILK)抑制剂QLT0267对P38丝裂原活化蛋白激酶(P38MAPK)表达的影响。方法 体外培养人近端肾小管上皮细胞(HK-2), 分10组, 每组给予不同浓度葡萄糖及QLT0267, 干预48 h。四甲基偶氮唑蓝(MTT)法检测细胞增殖情况, 计算半数抑制浓度(IC_{50})；随后选取对照组、高糖组、DMSO组、QLT0267(IC_{50})组(使用QLT0267后, HK-2细胞数量减少一半所需的QLT0267药物浓度), 免疫荧光法检测各组ILK、P-P38MAPK的表达; Western blot检测各组ILK、蛋白激酶B(AKT)、磷酸化-蛋白激酶B(P-AKT)、P-P38MAPK、P38MAPK、 α -平滑肌肌动蛋白(α -SMA)的表达, 观察各组表达差异性, 探讨在TEMT过程中QLT0267对P38MAPK的影响。结果 30 mmol/L的葡萄糖干预48 h HK-2细胞增殖显著, 同时上调细胞中ILK、P-AKT、P-P38MAPK、 α -SMA的表达; QLT0267在抑制HK-2细胞增殖的同时, 可以通过下调ILK下游P-AKT的表达, 阻止P38MAPK活化, 进而减少HK-2细胞中 α -SMA的表达, 延缓TEMT进程。结论 QLT0267可能通过部分阻止P38MAPK的活化, 从而延缓HK-2细胞TEMT进程。

[关键词] 糖尿病肾病; 近端小管上皮细胞; 转分化; 整合素连接激酶; P38丝裂原活化蛋白激酶; QLT0267

[中图分类号] R692

[文献标识码] A

[文章编号] 1671-8348(2016)23-3206-04

The effect of QLT0267 which is inhibitor of ILK on P38MAPK in process of HK-2 cells TEMT*

Lin Zhifeng¹, Jia Lin², Zhao Dan¹, Ma Li², Tang Yuling², Yang Rui², Yang Xiaoping^{1△}

(1. Division of Nephrology, the First Affiliated Hospital, College of Medicine, Shihezi University, Shihezi, the Xinjiang Uygur Autonomous Region 832008, China; 2. Medical College of Shihezi University, Shihezi, the Xinjiang Uygur Autonomous Region 832008, China)

[Abstract] **Objective** To observe the effect of different concentrations of QLT0267 which is the inhibitor of integrin-linked kinase(ILK) on P38 mitogen activated protein kinase (P38MAPK), in process of high glucose-induced tubular epithelial-myofibroblast transdifferentiation (TEMT). **Methods** The cultured human renal tubular epithelial(HK-2) cell were divided into 10 groups by the different concentrations of GS and QLT0267, cultured 48 h. The inhibition ratio in each group was calculated by the method of MTT, and found concentration which inhibit rate was 50% (IC_{50}). Then we selected control group, high-glucose group, DMSO group and QLT0267(IC_{50})group(The concentration of QLT0267, which led to the HK-2 cell reduced by half). The protein of ILK, AKT, P-AKT, P38MAPK, P-P38MAPK and α -smooth muscle actin (α -SMA) were detected by the method of immunofluorescence and Western blot. We observed the differences in each group and explored the relationship between ILK and P38MAPK in the process of TEMT. **Results** HK-2 cell proliferated significantly after 30 mmol/L glucose intervention for 48 h, and at the same time it upregulated the expression of ILK, P-AKT, P-P38MAPK, α -SMA. 50% HK-2 cell inhibited at the concentration of 28 μ mol/L QLT0267. It decreased both the expression of P-AKT which down-regulated the expression of ILK, and the expression of P-P38MAPK, thereby reducing the expression of α -SMA and delaying process of TEMT at the concentrations of 28 μ mol/L QLT0267 in HK-2 cell. **Conclusion** 28 μ mol/L QLT0267 might inhibit HK-2 cell TEMT by decreasing the expression of P38MAPK.

[Key words] diabetic nephropathy; kidney tubules epithelial cells; epithelial-mesenchymaltransition; ILK; P-38MAPK; QLT0267

随着病情进展, 糖尿病肾病终将发展为肾间质纤维化(renal interstitial fibrosis, RIF), 而RIF是终末期肾脏病的主要病理基础之一, 危害性大, 是近年来的研究热点。报道证实, 肾小管上皮细胞-肌成纤维细胞转分化(tubular epithelial-myofibroblast transdifferentiation, TEMT)在RIF过程中起着重要的作用^[1]。因此, 探究TEMT过程的发生机制, 寻找有效的作用靶点, 早干预, 早治疗, 对延缓RIF病程进展有着十分重要的意义。

众所周知, 整合素连接激酶(integrin-linked kinase, ILK)

是丝裂原活化蛋白激酶(MAPK)家族上游信号分子, 在正常肾小管上皮细胞中不表达或仅少量表达, TEMT后表达增高, 是信号传导的重要枢纽^[2]。P38丝裂原活化蛋白激酶(P38MAPK)是MAPK家族成员之一, 其活化在一定程度上可以加速TEMT的进程^[3], 然而, ILK是否通过P38MAPK信号途径参与TEMT的病程进展目前鲜有文献报道, 因此本研究拟用不同浓度ILK抑制剂QLT0267, 旨在观察QLT0267对P38MAPK表达的影响, 探讨在高糖诱导TEMT过程中ILK与P38MAPK的关系。

* 基金项目: 石河子大学科学技术研究发展计划基金资助项目(2013ZRKXYQ-YD16)。 作者简介: 林智峰(1981—), 主治医师, 硕士, 主要从事肾小管疾病研究。 △ 通讯作者, E-mail: sbkyxp@163.com。

1 材料与方法

1.1 材料

1.1.1 主要材料 人近端肾小管上皮细胞(HK-2, 上海通派公司), 胎牛血清(FBS, BI 公司), DMEM(无糖)/F12 培养基(Gibco 公司), 0.25% 胰蛋白酶+乙二胺四乙酸(EDTA, Heclon 公司), 四甲基偶氮唑蓝(MTT, Solarbio 公司), QLT0267、二甲基亚砜(DMSO, 上海前尘生物科技有限公司, QLT0267 溶剂), 兔抗人 ILK 抗体(Abcam 公司), 兔抗人蛋白激酶 B(AKT 抗体)、兔抗人磷酸化-蛋白激酶 B(P-AKT)抗体、兔抗人 P38MAPK 抗体、兔抗人 P-P38MAPK 抗体(Cell Signaling 公司), 鼠抗人 α-SMA 抗体(Abcam 公司)、多聚甲醛(博士德生物公司)、山羊血清(中杉金桥公司)。

1.1.2 主要仪器 xMark 酶联免疫检测仪(BIO-RAD 公司)、显微镜(Olympus 公司), LSM 510META 共聚焦显微镜(Zeiss 公司), XR+凝胶成像仪(BIO-RAD 公司)。

1.2 方法

1.2.1 细胞培养及分组 购置 HK-2 细胞株, 用含 10% FBS 的 DMEM/F12 培养液传代培养, 取第 2~7 代细胞用于试验。分为 10 组:(1)对照组(5.5 mmol/L 葡萄糖);(2)高糖组(30.0 mmol/L 葡萄糖);(3)DMSO 组(30.0 mmol/L 葡萄糖+与 Q30 组剂量相同的 DMSO);(4)Q0.05 组(30.0 mmol/L 葡萄糖+0.05 μmol/L QLT0267);(5)Q0.5 组(30.0 mmol/L 葡萄糖+0.50 μmol/L QLT0267);(6)Q10 组(30.0 mmol/L 葡萄糖+10.00 μmol/L QLT0267);(7)Q20 组(30.0 mmol/L 葡萄糖+20.00 μmol/L QLT0267);(8)Q30 组(30.0 mmol/L 葡萄糖+30.00 μmol/L QLT0267);(9)Q50 组(30.0 mmol/L 葡萄糖+50.00 μmol/L QLT0267);(10)Q100 组(30.0 mmol/L 葡萄糖+100.00 μmol/L QLT0267)干预 48 h。倒置相差显微镜下观察细胞形态。

1.2.2 MTT 法检测 HK-2 细胞增殖 收集对数期 HK-2 细胞, 接种于 96 孔板内, 次日同步化 12 h, 按上述分组加药, 每组 6 个复孔, 干预 48 h; 换液后每孔加入 100 μL 完全培养液及 20 μL MTT 溶液(5 mg/mL, 即 0.5% MTT); 继续培养 4 h 后, 吸去孔内培养液, 加入 150 μL DMSO, 酶标仪中低速振荡 3 次, 使结晶物充分溶解。在酶联免疫检测仪 490 nm 处测量各孔光密度(OD)值; 试验重复 3 次, 并按以下公式计算抑制率, 抑制率=[OD 高糖组 - OD QLT0267 (IC₅₀) 组]/OD 高糖组 × 100%, SPSS 法计算半数抑制浓度(IC₅₀)^[4], 选取 QLT0267 (IC₅₀) 组。

1.2.3 免疫荧光法检测 取对数期细胞于 6 孔板中爬片, 细胞数约 8 000/张, 按对照组、高糖组、DMSO 组、QLT0267 (IC₅₀) 组加药干预 48 h。4% 多聚甲醛固定, 10% 山羊血清封闭 30 min, 滴加兔抗人单克隆 ILK(1:400)、P-AKT(1:1 000)、P-P38MAPK(1:800) 抗体, 4 °C 孵育过夜, FITC 标记山羊抗兔抗体(1:100)室温孵育 1.5 h, 封片, 采图, AIM examiner 系统进行荧光强度分析。

1.2.4 Western blot 检测 取对数期细胞种板, 按对照组、高糖组、DMSO 组、QLT0267 (IC₅₀) 组加药, 干预 48 h 后冰上裂解并收集细胞, 12 000 r/min 4 °C 离心 25 min, 提取蛋白, 蛋白定量试剂盒(BCA 法)测蛋白浓度, 配平后加入 5×loading buffer 煮沸, 使蛋白变性, 上样电泳, 聚偏二氟乙烯膜(PVDF 膜)转膜, 5% 脱脂奶粉或 BSA 室温封闭 2 h, 兔抗人单克隆 ILK、P-AKT、AKT、P-P38MAPK、P38MAPK 抗体(1:1 000~1:2 000)或鼠抗人单克隆 α-SMA 抗体(1:500)4 °C

孵育过夜, 二抗(1:20 000)室温孵育 2 h, 暗室曝光, 凝胶成像和 Gel-Pro analyzer 分析系统进行灰度分析。

1.3 统计学处理 采用 SPSS17.0 统计软件分析, 计量资料用 $\bar{x} \pm s$ 表示, 组间比较采用单因素方差分析, 组间两两比较用 LSD-q 检验, 检验水准 $\alpha=0.05$, 以 $P<0.05$ 为差异有统计学意义。

2 结 果

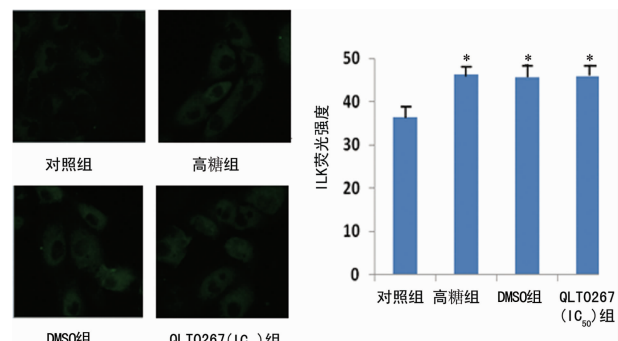
2.1 不同浓度 QLT0267 干预 48 h 对 HK-2 细胞增殖的影响

与对照组相比, 高糖组、DMSO 组、Q0.05 组、Q0.5 组 HK-2 细胞 OD 值增高($P<0.05$), Q10、Q20、Q30、Q50、Q100 组 HK-2 细胞 OD 值降低($P<0.05$)。与高糖组相比, DMSO 组及浓度低于 0.5 μmol/L 的 QLT0267 对细胞无显著抑制作用($P>0.05$), Q10、Q20、Q30、Q50、Q100 组细胞数目明显减少($P<0.05$), 细胞增殖抑制率分别为 23.8%、48.7%、65.0%、75.1%、84.9%(表 1)。根据上述细胞增殖抑制率的情况, 通过 SPSS 计算 QLT0267 的 IC₅₀ 浓度(用 QLT0267 后活细胞数量增殖抑制率为 50% 的浓度), 约为 24.5~32.1 μmol/L, 故依据前期试验结果选取 28 μmol/L 为 QLT0267 的 IC₅₀ 浓度, 即为 QLT0267 (IC₅₀) 组。

表 1 干预 48 h 后各组 HK-2 细胞 OD 值

组别	OD 值($\bar{x} \pm s$)	抑制率(%)
对照组	0.336±0.062	
高糖组	0.417±0.072 ^a	
DMSO 组	0.411±0.077 ^a	
Q0.05 组	0.430±0.057 ^a	-0.7
Q0.5 组	0.398±0.082 ^a	4.2
Q10 组	0.318±0.044 ^{ab}	23.8
Q20 组	0.214±0.041 ^{ab}	48.7
Q30 组	0.146±0.027 ^{ab}	65.0
Q50 组	0.104±0.028 ^{ab}	75.1
Q100 组	0.063±0.010 ^{ab}	84.9

^a: $P<0.05$, 与对照组比较。



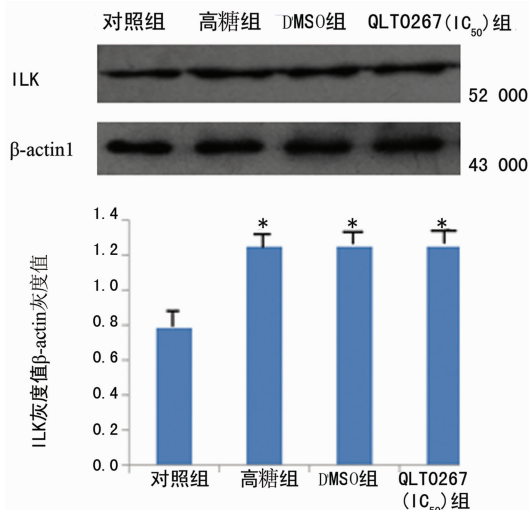
*: $P<0.05$, 与对照组比较。

图 1 激光共聚焦法、Western blot 检测 HK-2 细胞中 ILK 的表达(×200)

2.2 QLT0267 作用 48 h 对 HK-2 细胞中 ILK 表达的影响 激光共聚焦法、Western blot 检测各组中 ILK 表达情况显示, 对照组中 ILK 蛋白表达量较低, 与对照组相比, 高糖组、DMSO 组、QLT0267 (IC₅₀) 组 ILK 荧光强度显著增高($F=12.382$, $P<0.05$), 但 3 组间荧光强度差异无统计学意义($P>0.05$)。Western 印迹法结果与免疫荧光法结果一致($F=1.090.078$,

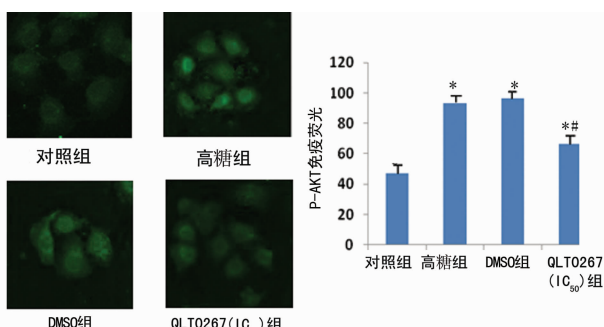
$P < 0.05$), 见图1、2。

2.3 QLT0267 干预 48 h 对 HK-2 细胞中 AKT、P-AKT 表达的影响 对照组中 P-AKT 灰度值较低, 且其蛋白表达量低于其余3组($F = 16.979.843, P < 0.05$); 高糖组与 DMSO 组间 P-AKT 灰度值差异无统计学意义($P > 0.05$); 与高糖组相比, QLT0267(IC_{50})组灰度值降低, 差异有统计学意义($P < 0.05$)。两种方法检测细胞蛋白水平差异无统计学意义($F = 105.62, P < 0.05$)。各组间 AKT 灰度值差异无统计学意义($F = 1.103, P > 0.05$), 见图3、4。



* : $P < 0.05$, 与对照组比较。

图2 Western blot 检测 QLT0267 干预 48 h 对 HK-2 细胞中 ILK 表达的影响



* : $P < 0.05$, 与对照组比较; ** : $P < 0.05$, 与高糖组比较。

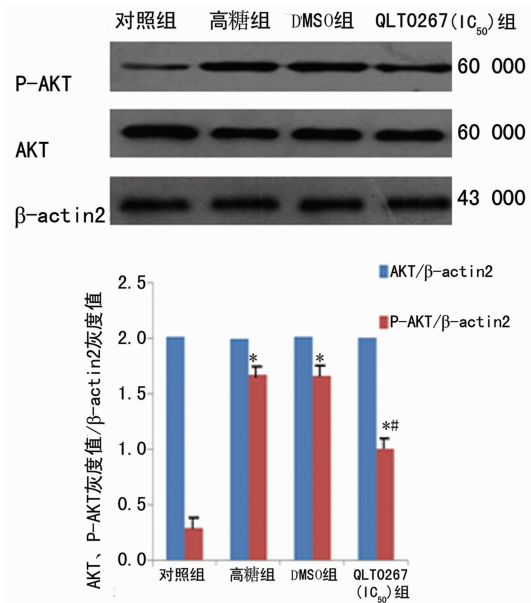
图3 免疫荧光检测 HK-2 细胞中 P-AKT 的表达($\times 200$)

2.4 QLT0267 干预 48 h 对 HK-2 细胞中 P38MAPK、P-P38MAPK 表达的影响 对照组中 P-P38MAPK 灰度值最低。与对照组相比, 高糖组、DMSO 组、QLT0267(IC_{50})组 P-P38MAPK 灰度值显著增高($F = 1.027.973, P < 0.05$); 与高糖组相比, DMSO 组中 P-P38MAPK 蛋白差异无统计学意义($P > 0.05$), QLT0267(IC_{50})组中 P-P38MAPK 蛋白表达量下调($P < 0.05$)。各组间 P38MAPK 灰度值不随药物干预而变化($F = 1.125, P > 0.05$)。免疫荧光法检测细胞中 P-P38MAPK 表达, 结果较前基本一致($F = 40.885, P < 0.05$), 见图5、6。

2.5 QLT0267 干预 48 h 对 HK-2 细胞中 α-SMA 表达的影响

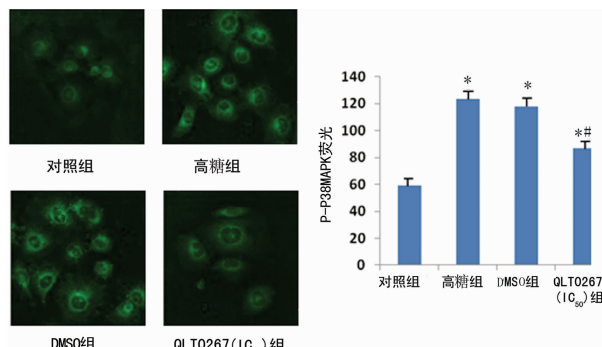
对照组中 α-SMA 仅少量表达, 与对照组相比, 其余3组 α-SMA 表达均增高($F = 1.051.225, P < 0.05$)。与高糖组相比, DMSO 组不能显著下调 TEMT 后 HK-2 细胞中 α-SMA 的表达($P > 0.05$), QLT0267(IC_{50})组可以使 α-SMA 蛋白表达量显

著降低($P < 0.05$), 见图7。



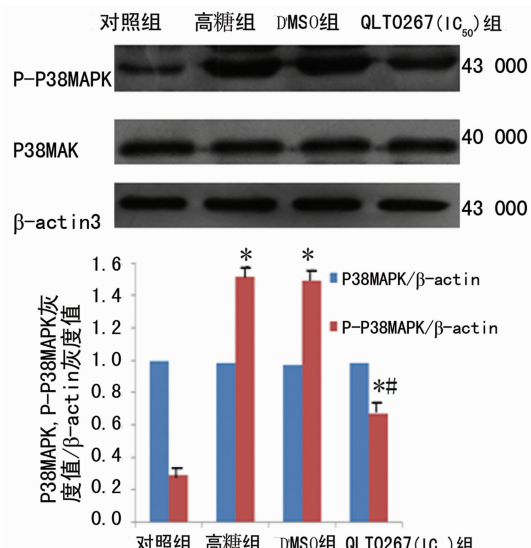
* : $P < 0.05$, 与对照组比较; ** : $P < 0.05$, 与高糖组比较。

图4 Western blot 法检测各组 HK-2 细胞中 AKT、P-AKT 表达



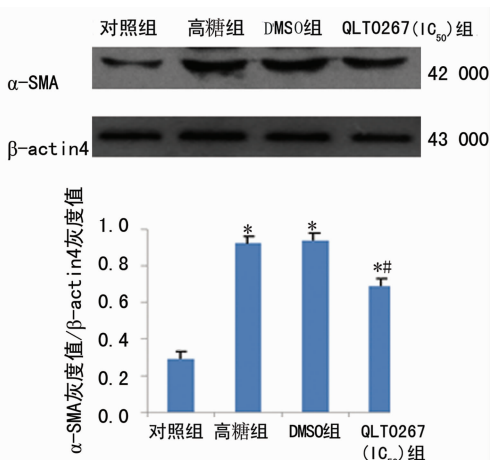
* : $P < 0.05$, 与对照组比较; ** : $P < 0.05$, 与高糖组比较。

图5 免疫荧光检测 HK-2 细胞中 P-P38MAPK 的表达($\times 200$)



* : $P < 0.05$, 与对照组比较; ** : $P < 0.05$, 与高糖组比较。

图6 Western blot 检测 HK-2 细胞中 P38MAPK、P-P38MAPK 的表达



*: $P < 0.05$, 与对照组比较; **: $P < 0.05$, 与高糖组比较。

图 7 Western blot 检测 HK-2 细胞中 $\alpha\text{-SMA}$ 的表达

3 讨 论

正常肾间质中,细胞外基质(ECM)的生成与降解始终处于动态平衡状态,病理情况下,平衡遭到破获,导致过量的ECM在肾间质内蓄积,最终引起RIF。研究表明TEMAT与RIF关系密切,其严重程度与预后密切相关^[4],而表达 $\alpha\text{-SMA}$ 的肌成纤维细胞的出现是TEMAT开始的标志^[5]。本试验证实,30 mmol/L葡萄糖作用48 h,可促进HK-2细胞增殖,同时 $\alpha\text{-SMA}$ 表达增高,佐证转分化模型成功。在此过程中ILK、P-P38MAPK表达均增高,而ILK作为MAPK家族上游蛋白,是否能够通过活化的MAPK家族成员P38MAPK参与TEMAT过程值得讨论。

ILK是一种丝氨酸/苏氨酸蛋白激酶,是细胞-细胞外基质连接处的重要分子骨架,对ECM具有调控作用^[6],其特异性抑制剂QLT0267可以通过抑制ILK下游AKT磷酸化进而发挥其抑制效果^[7]。研究发现,在抑制肿瘤细胞生长、降低糖尿病大鼠尿清蛋白/肌酐比值等过程中,QLT0267可通过上述途径发挥治疗作用^[8-16]。同时,周娟等^[10]也发现,多条信号通路参与了TEMAT过程,TGF- β /ILK是其中之一,在该过程中ILK表达增高,与本试验结果一致。此外,本研究发现,QLT0267可以抑制ILK下游AKT活化进而使 $\alpha\text{-SMA}$ 表达降低,延缓TEMAT进展。

p38MAPK表达于所有类型的细胞中,在控制细胞增殖、分化、转化及凋亡等生理过程中起主要作用^[11-12]。P38MAPK被磷酸化为P-P38MAPK而激活,进而完成调节相关基因转录^[13]。在TEMAT过程中,P38MAPK通过保守的三级激酶级联形式激活,抑制P38MAPK的磷酸化,改善糖尿病肾病中肾脏的炎性病变,延缓TEMAT的进程^[14]。

目前已有报道纳米材料可以激活ILK/p38MAPK通路,引起成骨细胞分化,证实P38MAPK是ILK下游的效应分子^[15];同时,Smeeton等^[16]也发现ILK可通过P38MAPK信号通路阻碍发育过程中输尿管胚芽的生长。本研究通过免疫荧光法、Western blot法证实,在TEMAT过程中,QLT0267可以通过下调P-AKT的表达,显著抑制P38MAPK活化,而不改变P38MAPK总蛋白表达量,但其P-P38MAPK表达量仍高于对照组,提示多条信号途径参与TEMAT过程;ILK可能可以通过活化P38MAPK以外的其他信号途径参与TEMAT过程;QLT0267尚不能完全抑制ILK下游蛋白活化;ILK阻断P38MAPK活化可能具有平台效应。与此同时, $\alpha\text{-SMA}$ 表达

亦减少,提示TEMAT得到改善。

综上所述,QLT0267可以通过特异性阻止ILK下游蛋白AKT的活化,有可能抑制部分的细胞增殖,下调高糖诱导TEMAT过程中P-P38MAPK的表达,延缓DN过程中TEMAT的进程。

参 考 文 献

- Liu C, Chen F, Han X, et al. Role of TGF- β 1/p38 MAPK pathway in hepatitis B virus-induced tubular epithelial-mesenchymal transition[J]. Int J Clin Exp Pathol, 2014, 7(11): 7923-7930.
- Li Y, Tan X, Dai C, et al. Inhibition of integrin-linked kinase attenuates renal interstitial fibrosis[J]. J Am Soc Nephrol, 2009, 20(9): 1907-1918.
- 赵斌,葛金芳,朱娟娟,等. 小议在MTT法测细胞增殖抑制率中 IC_{50} 的计算方法[J]. 安徽医药,2007,11(9):834-836.
- Hills CE, Squires PE. The role of TGF- β and epithelial-to-mesenchymal transition in diabetic nephropathy[J]. Cytokine Growth Factor Rev, 2011, 22(3): 131-139.
- Rhyu DY, Yang Y, Ha H, et al. Role of reactive Oxygen species in TGF-beta1-induced mitogen-activated protein kinase activation and epithelial-mesenchymal transition in renal tubular epithelial cells[J]. J Am Soc Nephrol, 2005, 16(3): 667-675.
- 闫皓,姚芳,张丽萍,等. ILK siRNA 对高糖刺激的人肾小管上皮细胞GSK-3 β 及 β -catenin表达的影响[J]. 中国病理生理杂志,2014,30(3):503-508.
- Kalra J, Dragowska WH, Bally MB. Using pharmacokinetic profiles and digital quantification of stained tissue microarrays as a medium-throughput, quantitative method for measuring the kinetics of early signaling changes following integrin-linked kinase inhibition in an in vivo model of cancer[J]. J Histochem Cytochem, 2015, 63(9): 691-709.
- Edwards LA, Woo J, Huxham LA, et al. Suppression of VEGF secretion and changes in glioblastoma multiforme microenvironment by inhibition of integrin-linked kinase (ILK)[J]. Mol Cancer Ther, 2008, 7(1): 59-70.
- Chen T, Zheng LY, Xiao W, et al. Emodin ameliorates high glucose induced-podocyte epithelial-mesenchymal transition in-vitro and in-vivo[J]. Cell Physiol Biochem, 2015, 35(4): 1425-1436.
- 周娟,秦晓华,李瑾,等. 红细胞生成素对白蛋白诱导HK-2细胞转分化中TGF β 1/ILK通路的调控作用[J]. 中国现代医学杂志,2013,23(6):24-28.
- Wei L, Li Y, Suo Z. TSPAN8 promotes gastric cancer growth and metastasis via ERK MAPK pathway[J]. Int J Clin Exp Med, 2015, 8(6): 8599-8607.
- 奚培培,徐玉音,黄新忠,等. 前列腺素E2受体激动剂对转化生长因子 β 1诱导的小鼠系膜细胞损伤的保护作用[J]. 中华肾脏病杂志,2013,29(10): 761-767.
- 肖瑛,方开云,石明隽,等. p38MAPK介导高糖下调肾小管上皮细胞表达BMP-7[J]. 中国病理生理杂志,2010,26(9): 1759-1763.

(下转第 3212 页)

手术方式，并且对于儿童青光眼患者可以作为首选的治疗方式，本研究中儿童青光眼患者有 10 例，均有良好的手术效果。

本研究发生率最高的并发症为前房积血，与研究对象原发疾病中新生血管性青光眼所占比例较高有关（54.8%），TSCPC 使睫状体凝固性坏死，术后 IOP 显著降低，可能导致原本功能不良的新生血管破裂出血。另一主要并发症为视力下降（16.7%），可能与手术前后 IOP 剧烈波动导致视网膜神经节细胞缺血-再灌注损伤，炎症反应加重，低 IOP 性黄斑水肿等因素有关。睫状体破坏性手术常见的另一并发症为疼痛，本研究在总结初期病例（5 例剧烈疼痛的患者均为初期治疗病例），加强局部抗炎和改进镇痛措施后，术后疼痛的发生率大大降低。

TSCPC 具有简便、快捷、经济、体积小、易携带、造价低等优点，目前有学者认为在手术条件落后或无法负担常规诊疗或随访费用的地区可将 TSCPC 作为原发性青光眼的首选治疗^[8,16]。有报道发现 TSCPC 术后发生巩膜溶解穿孔这一严重并发症，与内眼手术后色素嵌顿于巩膜层间有关^[17]，故行 TSCPC 时应避开巩膜瘢痕区域。然而上述研究样本量较小，随访时间较短，本研究中尚未出现巩膜溶解穿孔这一并发症，对于视功能尚存的青光眼患者是否普遍使用尚存争议，有待增加样本量，延长随访时间来进一步证实。

参考文献

- [1] Joshi AB, Parrish RK, Feuer WF. 2002 survey of the American glaucoma society-practice preferences for glaucoma surgery and antifibrotic use[J]. J Glaucoma, 2005, 14(2):172-174.
- [2] Gedde SJ, Schiffman JC, Feuer WJ, et al. Treatment outcomes in the tube versus trabeculectomy (TVT) study after five years of follow-up[J]. Am J Ophthalmol, 2012, 153(5):789-803.
- [3] McKelvie PA, Walland MJ. Pathology of cyclodiode laser: a series of nine enucleated eyes[J]. Br J Ophthalmol, 2002, 86(4):381-386.
- [4] Piirtola A, Puska P, Kivelä T. Red laser cyclophotocoagulation in the treatment of secondary glaucoma in eyes with uveal melanoma[J]. Glaucoma, 2014, 23(1):50-55.
- [5] 李维娜, 梁宗宝, 邓艺萍, 等. 睫状体光凝术与小梁切除术治疗原发性急性闭角型青光眼持续性高眼压疗效比较[J]. 中华实验眼科杂志, 2014, 32(3):266-269.
- [6] 范虹, 刘五存, 蔡鸿英, 等. 改良二极管激光睫状体光凝术治疗中晚期青光眼[J]. 眼科新进展, 2012, 32(4):376-378.
- [7] 宋鹤翔, 苗林, 曹西友. 不同脉冲时间半导体激光经巩膜睫状体光凝治疗难治性青光眼临床疗效比较[J]. 医学临床研究, 2013, 30(5):912-914.
- [8] 李维娜, 张育谋, 李学喜, 等. 原发性急性闭角型青光眼持续性高眼压睫状体光凝后行小梁切除术的疗效观察[J]. 眼科新进展, 2013, 33(5):472-474.
- [9] 李爽, 张舒心. 二极管激光经巩膜睫状体光凝术治疗难治性青光眼[J]. 眼科新进展, 2010, 30(1):78-80.
- [10] Ness PJ, Khaimi MA, Feldman RM, et al. Intermediate term safety and efficacy of transscleral cyclophotocoagulation after tube shunt failure[J]. J Glaucoma, 2012, 21(2):83-88.
- [11] Panarelli JF, Banitt MR, Sidoti PA. Transscleral diode laser cyclophotocoagulation after baerveldt glaucoma implant surgery[J]. J Glaucoma, 2014, 23(6):405-409.
- [12] Frezzotti P, Mittica V, Martone G, et al. Longterm follow-up of diode laser transscleral cyclophotocoagulation in the treatment of refractory glaucoma[J]. Acta Ophthalmol, 2010, 88(1):150-155.
- [13] 郑霄, 谢琳, 李翔骥, 等. 经巩膜睫状体光凝术治疗难治性青光眼的疗效观察[J]. 中华解剖与临床杂志, 2014, 19(6):503-506.
- [14] Ghosh S, Manvikar S, Ray-Chaudhuri N, et al. Efficacy of transscleral diode laser cyclophotocoagulation in patients with good visual acuity[J]. Eur J Ophthalmol, 2014, 24(3):375-381.
- [15] Kraus CL, Tychsen L, Lueder GT, et al. Comparison of the effectiveness and safety of transscleral cyclophotocoagulation and endoscopic cyclophotocoagulation in pediatric glaucoma[J]. J Pediatr Ophthalmol Strabismus, 2014, 51(2):120-127.
- [16] Manna A, Foster P, Papadopoulos M, et al. Cyclodiode laser in the treatment of acute angle closure[J]. Eye, 2012, 26(5):742-745.
- [17] 冯星, 张风. 经巩膜睫状体光凝术致巩膜组织损伤临床观察[J]. 眼科新进展, 2011, 31(10):985-986.

（收稿日期：2016-04-02 修回日期：2016-06-25）

（上接第 3209 页）

- [14] Huang YR, Wan YG, Sun W, et al. Effects and mechanisms of multi-glycoside of Tripterygium wilfordii improving glomerular inflammatory injury by regulating p38MAPK signaling activation in diabetic nephropathy rats[J]. Zhongguo Zhong Yao Za Zhi, 2014, 39(21):4102-4109.
- [15] Wang W, Liu Q, Zhang Y, et al. Involvement of ILK/ERK1/2 and ILK/p38 pathways in mediating the enhanced osteoblast differentiation by micro/nanotopography[J]. Acta Biomater, 2014, 10(8):3705-3715.

- [16] Smeeton J, Zhang X, Bulus N, et al. Integrin-linked kinase regulates p38 MAPK-dependent cell cycle arrest in ureteric bud development[J]. Development, 2010, 137(19):3233-3243.

（收稿日期：2016-04-24 修回日期：2016-07-24）